

**SIMULATOR ALGORITMA  
PENDETEKSI KERUSAKAN MODUL  
SURYA PADA RANGKAIAN MODUL SURYA**

**TESIS**

**Oleh**

**WIBENG DIPUTRA  
06 06 00 3695**



**TESISINI DIAJUKAN UNTUK MELENGKAPISEBAGIAN  
PERSYARATAN MENJADI MAGISTER TEKNIK**

**PROGRAM STUDI TEKNIK ELEKTRO  
PROGRAM PASCASARJANA BIDANG ILMU TEKNIK  
UNIVERSITAS INDONESIA  
GANJIL 2007/2008**

## **PERNYATAAN KEASLIAN TESIS**

Saya menyatakan dengan sesungguhnya bahwa tesis dengan judul :

### **SIMULATOR ALGORITMA PENDETEKSI KERUSAKAN MODUL SURYA PADA RANGKAIAN MODUL SURYA**

yang dibuat untuk melengkapi sebagian persyaratan menjadi Magister Teknik pada Kekhususan Aplikasi Mikroprosesor Program Studi Teknik Elektro Program Pascasarjana Universitas Indonesia, sejauh yang saya ketahui bukan merupakan tiruan atau duplikasi dari tesis yang sudah dipublikasikan dan atau pernah dipakai untuk mendapatkan gelar kesarjanaan di lingkungan Universitas Indonesia maupun di Perguruan Tinggi atau Instansi manapun, kecuali bagian yang sumber informasinya dicantumkan sebagaimana mestinya.

Depok, 7 Januari 2008

Wibeng Diputra

NPM 0606003695

## PENGESAHAN

Tesis dengan judul :

### SIMULATOR ALGORITMA PENDETEKSI KERUSAKAN MODUL SURYA PADA RANGKAIAN MODUL SURYA

dibuat untuk melengkapi sebagian persyaratan menjadi Magister Teknik pada Kekhususan Aplikasi Mikroprosesor Program Studi Teknik Elektro Departemen Teknik Elektro Fakultas Teknik Universitas Indonesia. Tesis ini telah diujikan pada sidang ujian tesis pada tanggal 3 Januari 2008 dan dinyatakan memenuhi syarat/sah sebagai tesis pada Departemen Teknik Elektro Fakultas Teknik Universitas Indonesia.

Depok, 7 Januari 2008

Dosen Pembimbing

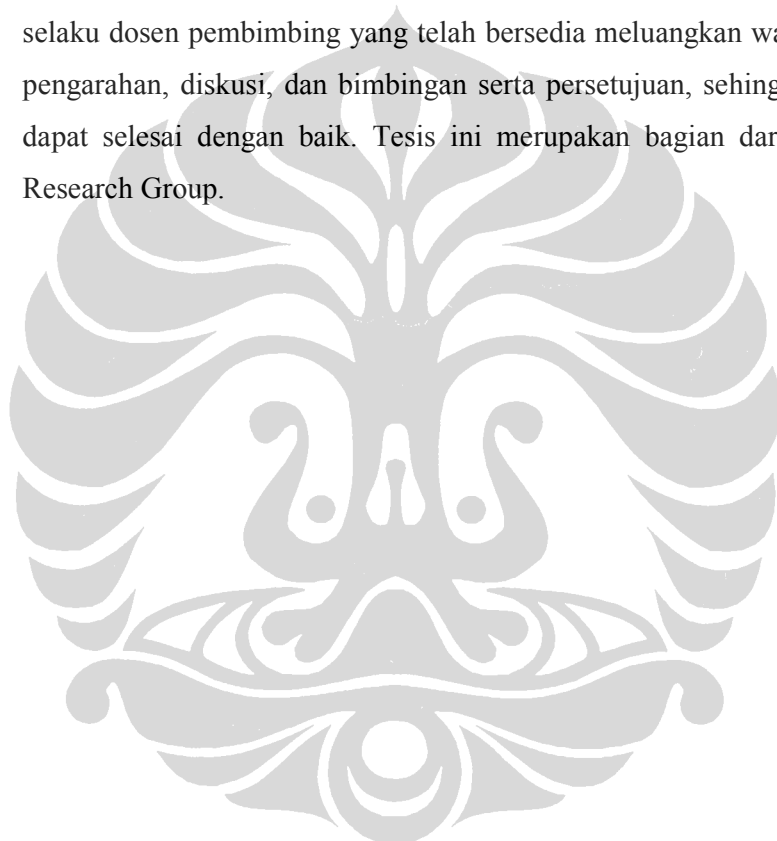
Prof. Dr. Ir. Nji Raden Poespawati, MT  
NIP 131595837

## **UCAPAN TERIMA KASIH**

Penulis mengucapkan terima kasih kepada :

**Prof. Dr. Ir. Nji Raden Poespawati, MT**

selaku dosen pembimbing yang telah bersedia meluangkan waktu untuk memberi pengarahan, diskusi, dan bimbingan serta persetujuan, sehingga laporan tesis ini dapat selesai dengan baik. Tesis ini merupakan bagian dari Photonic Devices Research Group.



Wibeng Diputra NPM 06 06 00 3695 Departemen Teknik Elektro	Dosen Pembimbing Prof. Dr. Ir. N.R.Poespawati, MT
<b>SIMULATOR ALGORITMA PENDETEKSI KERUSAKAN MODUL SURYA PADA RANGKAIAN MODUL SURYA</b>	
<b>ABSTRAK</b>	
<p>Berkurangnya ketersediaan energi fosil menyebabkan dunia mulai beralih ke penggunaan energi alternatif. Salah satu energi alternatif tersebut adalah energi surya melalui pemanfaatan sel surya. Sel surya menjadi pilihan karena ramah lingkungan, biaya produksi yang semakin menurun seiring dengan peningkatan jumlah produksi dan efisien sel surya yang cenderung naik.</p> <p>Salah satu hal yang dapat mengurangi keluaran daya adalah kerusakan modul surya pada sistem. Hasil simulasi PSpice menunjukkan bahwa penurunan daya sistem tidak linear terhadap jumlah modul yang rusak.</p> <p>Saat ini telah ada berbagai metode pendekripsi kerusakan modul surya, contohnya adalah pengukuran arus pada <i>bypass diode</i>, pemasangan LED pada <i>bypass diode</i>, atau melalui pengukuran temperatur. Penelitian ini menggunakan metode analisis kurva karakteristik daya rangkaian modul surya untuk mendekripsi adanya kerusakan dengan hanya menggunakan parameter arus dan tegangan. Umumnya sistem energi surya telah memiliki sensor arus dan tegangan, sehingga tidak diperlukan tambahan sensor untuk pendekripsi kerusakan modul menggunakan metode analisis kurva ini.</p> <p>Berdasarkan kurva karakteristik rangkaian modul surya hasil simulasi Pspice yang memiliki sebuah atau lebih modul surya yang rusak, didapati bahwa kurva tersebut memiliki "jenjang / ladder", yang tidak dimiliki oleh kurva normal. Simulasi algoritma yang dibuat pada VB6.0 bekerja dengan cara menggambar kurva karakteristik sistem berdasarkan fungsi <i>irradiance</i> dan suhu modul, kemudian memeriksa indikasi "jenjang" kurva ini.</p> <p>Pengujian pada simulasi menunjukkan bahwa algoritma pendekripsi kerusakan modul surya telah dapat mendekripsi kerusakan modul surya. Untuk pengujian berdasarkan data hasil pengukuran pada rangkaian seri dua modul surya dan pada rangkaian seri tiga modul surya dari Suntech STP005S diperlukan sedikit modifikasi pada algoritma. Hal ini disebabkan kontur "jenjang" pada kurva yang tidak horizontal sempurna. Toleransi kemiringan kurva untuk pengujian berdasarkan hasil pengukuran ini adalah sebesar 0,7 mA. Dengan toleransi ini, algoritma berhasil membedakan sistem yang normal dengan sistem yang memiliki kerusakan modul surya berdasarkan parameter arus dan tegangan.</p>	
<b>Kata Kunci : Modul surya, PSpice, VB6.0, algoritma deteksi, jenjang/ladder</b>	

Wibeng Diputra NPM 06 06 00 3695 Electrical Engineering Department	Counsellor Prof. Dr. Ir. N.R.Poespawati, MT
<b>SIMULATOR ALGORITMA PENDETEKSI KERUSAKAN MODUL SURYA PADA RANGKAIAN MODUL SURYA</b>	
<b>ABSTRACT</b>	
<p>Alternative energy has changed the use of fossil energy in the world. One of the alternative energy which starts to be widely used was solar energy through the implementation of solar cell. Solar cell become a potential choice since its production's cost tend to go lower along with mass production, improvement on its efficiency, and also because this energy was environmental friendly.</p> <p>One of matter which can lessen energy output is a broken or passive solar module in a system. Result from PSpice show that energy's degradation in a system doesn't linear to the amount of passive solar module.</p> <p>Those are several methods to detect failure on solar module, example: current probe on bypass diode, using LED on bypass diode, or using temperature detection. This research contributes a method that could detect failure on solar module using power curve analysis. Generally, solar system had already has current and voltage sensor, so there are no need to add extra sensor to implement this curve analysis method.</p> <p>Refer from Pspice simulation result of a string module power curve which has one passive module or more, known that the curve has "ladder" that a normal curve doesn't have it. Simulation of detection algorithm on VB6.0 works by drawing characteristic curve and by checking curve's difference as parameter detection.</p> <p>Simulation in VB6.0 showed that detection algorithm had success to detect passive solar module. In order to detect failure on solar module based on measurement data from two series string solar module and three series of STP005S string solar module, detection algorithm need a modification. This is because the horizontal line of the "ladder" didn't perfectly horizontal. With 0,7 mA toleration, algorithm has succeed to detect passive solar module.</p>	
<b>Keywords :</b> Solar module, Pspice, VB6.0, detection algorithm, ladder	

## DAFTAR ISI

	Halaman
PERNYATAAN KEASLIAN TESIS	ii
PERSETUJUAN	iii
UCAPAN TERIMA KASIH	iv
ABSTRAK	v
ABSTRACT	vi
DAFTAR ISI	vii
DAFTAR GAMBAR	x
DAFTAR TABEL	xiii
DAFTAR SINGKATAN	xiv
DAFTAR SIMBOL	xv
DAFTAR LAMPIRAN	xvii
BAB I PENDAHULUAN	1
1.1 LATAR BELAKANG	1
1.2 RUMUSAN MASALAH	2
1.3 TUJUAN PENELITIAN	2
1.4 BATASAN MASALAH	2
1.5 METODOLOGI PENELITIAN	3
1.5.1 Analisa Permasalahan Dan Kebutuhan	4
1.5.2 Kajian Literatur	4
1.5.3 Simulasi Rangkaian Modul Surya	4
1.5.4 Pengujian Algoritma Pendekripsi Kerusakan Modul Surya	5
1.6 SISTEMATIKA PENULISAN	5
BAB II SEL SURYA	6
2.1 PRINSIP KERJA SEL SURYA	6
2.2 KARAKTERISTIK SEL SURYA	8
2.2.1 Kurva V-I Sel Surya	8
2.2.2 Arus Hubung Singkat (Isc) Pada Sel Surya	9
2.2.3 Tegangan Hubung Terbuka (Voc) Pada Sel Surya	9

2.2.4 Pengaruh <i>Irradiance</i> Terhadap Sel Surya	10
2.2.5 Pengaruh Suhu Terhadap Sel Surya	11
2.2.6 <i>Maximum Power Point (MPP)</i>	12
2.2.7 Efisiensi Sel Surya	13
<b>2.3 PEMODELAN SEL SURYA</b>	<b>14</b>
<b>2.4 RANGKAIAN MODUL SURYA</b>	<b>16</b>
2.4.1 Koneksi Antar Modul Surya	16
2.4.2 <i>"Hot Spot"</i>	17
2.4.3 Perbedaan Daya Antar Sel Pada Rangkaian Paralel Sel Surya	18
2.4.4 Perbedaan Daya Antar Sel Pada Rangkaian Seri Sel Surya	19
<b>2.5 KERUSAKAN MODUL SURYA</b>	<b>20</b>
<b>BAB III ALGORITMA PENDETEKSI KERUSAKAN MODUL SURYA</b>	<b>22</b>
3.1 PENGGAMBARAN KURVA KARAKTERISTIK MODUL SURYA	23
3.1.1 Penggambaran Karakteristik Modul Surya Pada PSpice	23
3.1.2 Penggambaran Karakteristik Modul Surya Pada VB6.0	24
3.2 SIMULASI KERUSAKAN MODUL SURYA	25
3.3 RANCANGAN ALGORITMA PENDETEKSI KERUSAKAN MODUL SURYA	26
3.3.1 Rancangan Algoritma Untuk Kondisi Ideal	27
3.3.2 Rancangan Algoritma Untuk Kondisi Non-ideal	28
3.4 CARA PENGUJIAN	30
<b>BAB IV UJI COBA DAN ANALISA</b>	<b>31</b>
4.1 PENGUJIAN HASIL SIMULASI MODUL SURYA	31
4.1.1 Modul Surya Solarex MSX-60	32
4.1.2 Modul Surya Schott Solar ASE-50-ETF	33
4.1.3 Modul Surya Suntech STP005S	35
4.2 SIMULASI DAN ANALISA KERUSAKAN MODUL SURYA	38
4.2.1 Analisa Pada Rangkaian Dua Modul Surya Seri Dan Dua Modul Surya Paralel	38

4.2.2 Analisa Pada Rangkaian Tiga Modul Surya Seri Dan Tiga Modul Surya Paralel	40
<b>4.3 ALGORITMA PENGGAMBAR KURVA KARAKTERISTIK MODUL SURYA</b>	<b>41</b>
4.3.1 Perancangan Algoritma Penggambar Kurva	41
4.3.2 Pengujian Algoritma Penggambar Kurva	44
4.3.2.1 Uji Coba Algoritma Penggambar Karakteristik Pada Rangkaian Tiga Modul Surya Seri	45
4.3.2.2 Uji Coba Algoritma Penggambar Karakteristik Pada Rangkaian Tiga Modul Surya Paralel	47
4.3.2.3 Uji Coba Algoritma Penggambar Karakteristik Pada Rangkaian Modul Surya Dua Seri Dan Dua Paralel	49
<b>4.3 PENGUJIAN ALGORITMA PENDETEKSI KERUSAKAN MODUL SURYA SECARA SIMULASI</b>	<b>52</b>
4.4.1 Pengujian Algoritma Pendekripsi Pada Solarex MSX-60	52
4.4.2 Pengujian Algoritma Pendekripsi Pada ASE-50-ETF	54
4.4.3 Pengujian Algoritma Pendekripsi Pada Suntech STP005S	55
<b>4.4 PENGUJIAN ALGORITMA PENDETEKSI KERUSAKAN MODUL SURYA BERDASARKAN HASIL PENGUKURAN</b>	<b>57</b>
4.5.1 Pengujian Algoritma Pendekripsi Kerusakan Modul Surya Pada Rangkaian Seri Dua Modul Surya	57
4.5.1.1 Rangkaian Seri Dua Modul Surya Normal	58
4.5.1.2 Rangkaian Seri Dua Modul Surya Dengan Kerusakan Pada Salah Satu Modul	59
4.5.2 Pengujian Algoritma Pendekripsi Kerusakan Modul Surya Pada Rangkaian Seri Tiga Modul Surya	61
4.5.2.1 Rangkaian Seri Tiga Modul Surya Normal	62
4.5.2.2 Rangkaian Seri Tiga Modul Surya Dengan Kerusakan Pada Salah Satu Modul	63
<b>BAB V KESIMPULAN</b>	<b>66</b>
<b>DAFTAR ACUAN</b>	<b>67</b>
<b>DAFTAR PUSTAKA</b>	<b>69</b>
<b>LAMPIRAN</b>	<b>71</b>

## DAFTAR GAMBAR

	Halaman
<b>Gambar 2.1</b> <i>PN junction</i>	7
<b>Gambar 2.2</b> Karakteristik dioda pada kondisi gelap dan teriluminasi	7
<b>Gambar 2.3</b> Kurva karakteristik sel surya	9
<b>Gambar 2.4</b> Karakteristik kurva V-I terhadap perubahan <i>irradiance</i>	11
<b>Gambar 2.5</b> Karakteristik kurva V-I terhadap perubahan suhu	11
<b>Gambar 2.6</b> Kurva V-I dan kurva daya sel surya	12
<b>Gambar 2.7</b> Kurva daya modul surya 75 W pada MPP	12
<b>Gambar 2.8</b> Proses pemodelan	14
<b>Gambar 2.9</b> <i>Equivalent circuit</i> model sel surya satu dioda	15
<b>Gambar 2.10</b> Kurva V-I untuk N sel seri dan M sel paralel	17
<b>Gambar 2.11</b> Satu modul pasif dalam modul surya	17
<b>Gambar 2.12</b> Pemasangan <i>bypass diode</i> pada rangkaian modul surya	17
<b>Gambar 2.13</b> Keluaran daya dengan dan tanpa <i>bypass diode</i>	18
<b>Gambar 2.14</b> Kombinasi arus pada dua modul paralel yang tidak identik	19
<b>Gambar 2.15</b> Metode menentukan <i>Voc</i> pada rangkaian dua modul surya paralel	19
<b>Gambar 2.16</b> Kombinasi <i>Voc</i> pada dua modul surya seri yang tidak identik	20
<b>Gambar 2.17</b> Metode menentukan <i>Isc</i> pada rangkaian dua modul surya seri	20
<b>Gambar 2.18</b> Kurva modul surya yang beberapa selnya tidak menghasilkan daya	21
<b>Gambar 3.1</b> Alur metode pembuatan simulator	22
<b>Gambar 3.2</b> Model PSpice Untuk Modul Surya	24
<b>Gambar 3.3</b> Pergeseran nilai MPP akibat perbedaan daya antar modul	26
<b>Gambar 3.4</b> Diagram blok sistem energi surya konvensional	26
<b>Gambar 3.5</b> Keterangan variabel algoritma	27
<b>Gambar 3.6</b> Diagram alir algoritma pendekripsi	28
<b>Gambar 3.7</b> Model untuk mengukur karakteristik modul surya	30
<b>Gambar 4.1</b> Hasil simulasi Solarex MSX-60 (a) <i>Datasheet</i> (b) Simulasi PSpice (c) Simulasi VB 6.0	32

<b>Gambar 4.2</b>	Hasil simulasi ASE-50-ETF (a) <i>Datasheet</i> (b) Simulasi PSpice (c) Simulasi VB 6.0	34
<b>Gambar 4.3</b>	Hasil simulasi ASE-50-ETF (a) <i>Datasheet</i> (b) Simulasi PSpice (c) Simulasi VB 6.0	36
<b>Gambar 4.4</b>	(a) Susunan rangkaian modul surya 2X2 (b) Kurva karakteristik pada kondisi normal (c) Kurva karakteristik dengan kerusakan modul	38
<b>Gambar 4.5</b>	Kurva dioda pada rangkaian modul surya	39
<b>Gambar 4.6</b>	(a) Susunan rangkaian modul surya 3X3 (b) Kurva karakteristik pada kondisi normal (c) Kurva karakteristik dengan kerusakan modul	40
<b>Gambar 4.7</b>	Kurva rangkaian modul surya 3x3 dengan kerusakan pada modul kesatu	41
<b>Gambar 4.8</b>	Penjelasan jenjang pada kurva dengan kerusakan pada modul kesatu	42
<b>Gambar 4.9</b>	Alur algoritma penggambar kurva karakteristik	43
<b>Gambar 4.10</b>	Rangkaian modul surya dengan <i>irradiance</i> yang terurut	43
<b>Gambar 4.11</b>	Kedudukan <i>Isc</i> dan <i>Voc</i> pada kurva	44
<b>Gambar 4.12</b>	(a) Susunan modul surya (b1) Simulasi normal PSpice (b2) Simulasi normal VB6.0 (c1) Beda daya pada modul satu dengan PSpice (c2) Beda daya pada modul satu dengan VB6.0 (d1) Sebuah modul tidak menghasilkan daya sama sekali pada PSpice (d2) Sebuah modul tidak menghasilkan daya sama sekali pada VB6.0	45
<b>Gambar 4.13</b>	(a) Susunan modul surya (b1) Simulasi normal PSpice (b2) Simulasi normal VB6.0 (c1) Beda daya pada modul satu dengan PSpice (c2) Beda daya pada modul satu dengan VB6.0	47
<b>Gambar 4.14</b>	(a) Susunan modul surya (b1) Modul normal dengan PSpice (b2) Modul normal dengan VB6.0 (c1) Beda daya pada modul satu dengan PSpice (c2) Beda daya pada modul satu dengan VB6.0 (d1) Beda daya pada modul satu dan dua dengan PSpice (d2) Beda daya pada modul satu dan dua dengan VB6.0 (e1) Beda daya pada satu rangkaian seri dengan PSpice (e2) Beda daya pada satu rangkaian seri dengan VB6.0 (f1) Beda daya pada satu rangkaian paralel dengan PSpice (f2) Beda daya pada satu rangkaian paralel dengan VB6.0	49
<b>Gambar 4.15</b>	Simulasi pengujian algoritma deteksi pada Solarex MSX-60	53

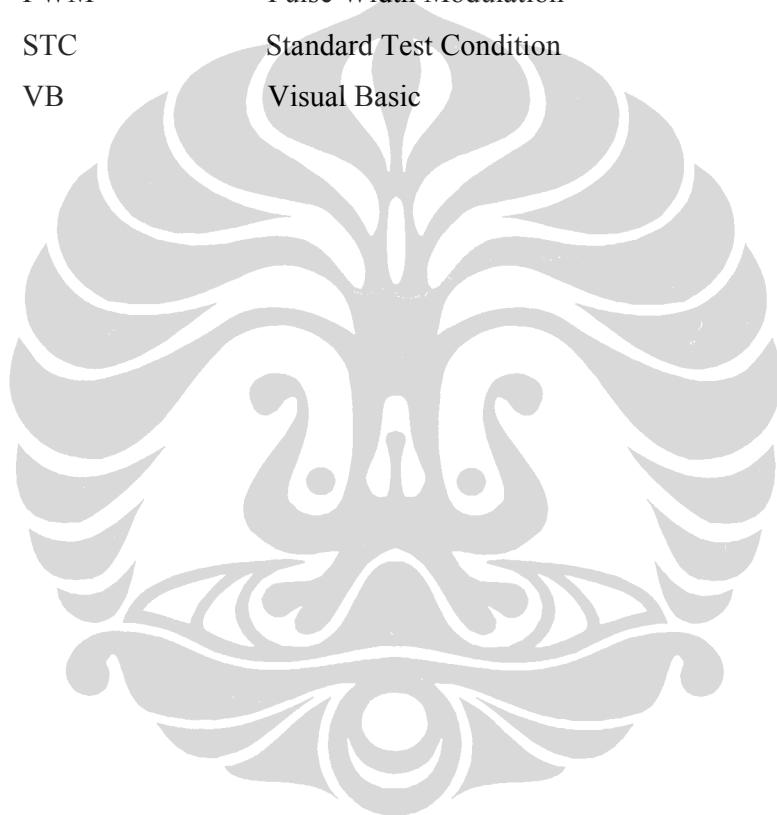
<b>Gambar 4.16</b>	Simulasi pengujian algoritma deteksi pada Solarex MSX-60 dengan kerusakan pada salah satu modulnya	53
<b>Gambar 4.17</b>	Simulasi pengujian algoritma deteksi pada ASE-50-ETF	54
<b>Gambar 4.18</b>	Simulasi pengujian algoritma deteksi pada ASE-50-ETF dengan kerusakan modul	55
<b>Gambar 4.19</b>	Simulasi pengujian algoritma deteksi pada Suntech STP005S	56
<b>Gambar 4.20</b>	Simulasi pengujian algoritma deteksi pada Suntech STP005S dengan kerusakan modul	56
<b>Gambar 4.21</b>	Perbandingan hasil simulasi dengan hasil pengukuran untuk rangkaian seri dua modul surya pada kondisi normal	58
<b>Gambar 4.22</b>	Hasil pengujian algoritma deteksi dengan data pengukuran dari rangkaian seri dua modul surya normal	59
<b>Gambar 4.23</b>	Perbandingan hasil simulasi dengan hasil pengukuran untuk rangkaian seri dua modul surya pada kondisi dengan kerusakan pada salah satu modul surya	60
<b>Gambar 4.24</b>	Hasil pengujian algoritma deteksi dengan data pengukuran dari rangkaian seri dua modul surya dengan kerusakan pada salah satu modul	61
<b>Gambar 4.25</b>	Perbandingan hasil simulasi dengan hasil pengukuran untuk rangkaian seri tiga modul surya pada kondisi normal	62
<b>Gambar 4.26</b>	Hasil pengujian algoritma deteksi dengan data pengukuran dari rangkaian seri tiga modul surya normal	63
<b>Gambar 4.27</b>	Perbandingan hasil simulasi dengan hasil pengukuran untuk rangkaian seri tiga modul surya pada kondisi dengan kerusakan pada salah satu modul surya	64
<b>Gambar 4.28</b>	Hasil pengujian algoritma deteksi dengan data pengukuran dari rangkaian seri tiga modul surya dengan kerusakan pada salah satu modul	65

## DAFTAR TABEL

	Halaman
<b>Tabel 2.1</b> Perbandingan Metode <i>Maximum Power Point Tracking</i>	13
<b>Tabel 4.1</b> Perbandingan Hasil Simulasi Solarex MSX-60 Terhadap <i>Datasheet</i>	33
<b>Tabel 4.2</b> Perbandingan Hasil Simulasi ASE-50-ETF Terhadap <i>Datasheet</i>	35
<b>Tabel 4.3</b> Perbandingan hasil simulasi STP005S pada <i>irradiance</i> 1000 W/m <sup>2</sup>	37
<b>Tabel 4.4</b> Perbandingan hasil simulasi STP005S pada <i>irradiance</i> 800 W/m <sup>2</sup>	37
<b>Tabel 4.5</b> Perbandingan hasil simulasi STP005S pada <i>irradiance</i> 600 W/m <sup>2</sup>	37
<b>Tabel 4.6</b> <i>Irradiance</i> untuk simulasi rangkaian modul 2x2	39
<b>Tabel 4.7</b> <i>Irradiance</i> untuk simulasi rangkaian modul 3x3	41
<b>Tabel 4.8</b> Nilai <i>irradiance</i> untuk rangkaian tiga modul surya seri	45
<b>Tabel 4.9</b> Nilai <i>irradiance</i> untuk rangkaian tiga modul surya paralel	47
<b>Tabel 4.10</b> Nilai <i>irradiance</i> untuk rangkaian modul surya dua seri dan dua paralel	49
<b>Tabel 4.11</b> Hasil Pengukuran Rangkaian Dua Modul Surya Pada Kondisi Normal	58
<b>Tabel 4.12</b> Perbedaan Hasil Simulasi Terhadap Hasil Pengukuran Untuk Rangkaian Dua Modul Surya Pada Kondisi Normal	59
<b>Tabel 4.13</b> Hasil Pengukuran Rangkaian Dua Modul Surya Pada Kondisi Dengan Kerusakan Pada Salah Satu Modul Surya	60
<b>Tabel 4.14</b> Perbedaan Hasil Simulasi Terhadap Hasil Pengukuran Untuk Rangkaian Dua Modul Surya Pada Kondisi Dengan Kerusakan Pada Salah Satu Modul	60
<b>Tabel 4.15</b> Hasil Pengukuran Rangkaian Tiga Modul Surya Pada Kondisi Normal	62
<b>Tabel 4.16</b> Perbedaan Hasil Simulasi Terhadap Hasil Pengukuran Untuk Rangkaian Tiga Modul Surya Pada Kondisi Normal	62
<b>Tabel 4.17</b> Hasil Pengukuran Rangkaian Tiga Modul Surya Pada Kondisi Dengan Kerusakan Modul Surya	63
<b>Tabel 4.18</b> Perbedaan Hasil Simulasi Terhadap Hasil Pengukuran Untuk Rangkaian Tiga Modul Surya Pada Kondisi Dengan Kerusakan Pada Salah Satu Modul	64

## **DAFTAR SINGKATAN**

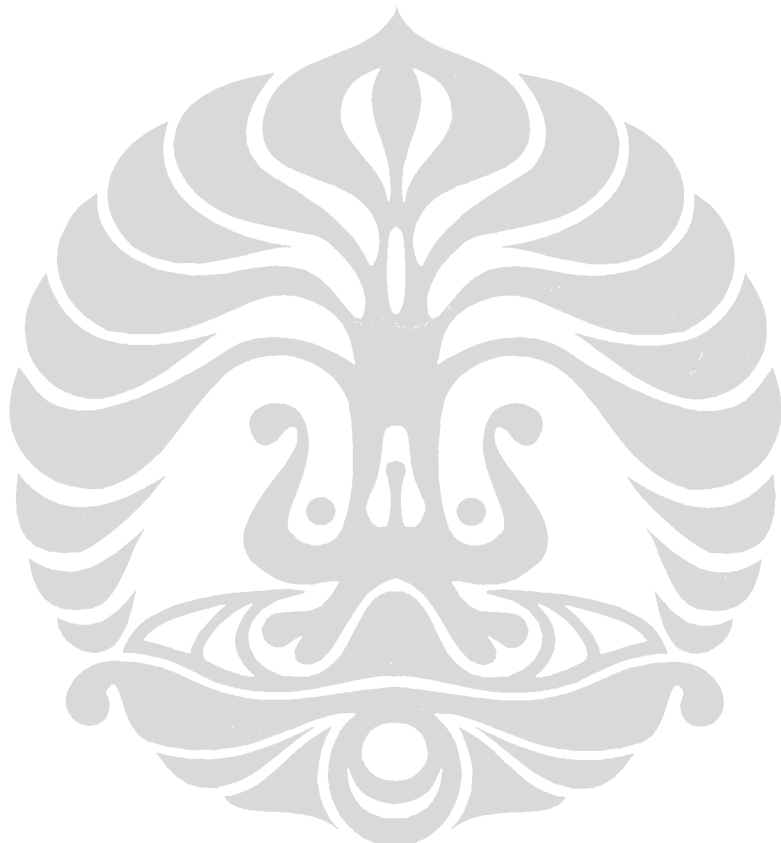
AM	Air Mass
MPP	Maximum Power Point
MPPT	Maximum Power Point Tracking
Pspice	Personal (Computer) Simulation Program with Integrated Circuit Emphasis
PWM	Pulse Width Modulation
STC	Standard Test Condition
VB	Visual Basic



## DAFTAR SIMBOL

<b>Simbol</b>	<b>Keterangan</b>	<b>Dimensi</b>
A	Luas area sel atau modul surya	$\text{m}^2$
$\lambda$	Panjang gelombang	m
c	Kecepatan cahaya	$\text{m/s}$
E	Energi	Joule
$\eta$	Efisiensi	-
f	Frekuensi	Hz
FF	<i>Fill Factor</i>	-
G	<i>Irradiance</i>	$\text{W/m}^2$
$G_{(\text{nom})}$	<i>Irradiance pada Standard Test Condition</i>	$\text{W/m}^2$
h	Konstanta Planck	$\text{Js}$
I	Arus pada terminal sel atau modul surya	A
$I_\lambda$	<i>Spectral irradiance</i>	$\text{W/m}^2 \mu\text{m}$
$I_L$	Arus yang dihasilkan oleh cahaya	A
$I_{L(T1)}$	Arus yang dihasilkan cahaya pada T1	A
$I_m$	Arus pada saat MPP	A
$I_o$	Arus saturasi dioda	A
$I_{o(T1)}$	Arus saturasi dioda pada saat T1	A
$I_{sc}$	Arus hubung singkat	A
$I_{sc(T1)}$	Arus hubung singkat pada T1	A
$J_L$	Arus yang dihasilkan cahaya per satuan luas	$\text{A/m}^2$
$J_o$	Arus saturasi dioda per satuan luas	$\text{A/m}^2$
$J_{sc}$	Arus hubung singkat per satuan luas	$\text{A/m}^2$
k	Konstanta Boltzmann	J/K
n	Diode quality factor	-
q	Muatan elektron	C
$R_s$	Resistensi seri	$\Omega$
T	Temperatur ambien	K
V	Tegangan terminal sel atau modul surya	V

Vm	Tegangan pada saat MPP	V
Vg	Tegangan band gap	V
Voc	Tegangan hubung terbuka	V



## DAFTAR LAMPIRAN

	Halaman
<b>Lampiran 1</b> <i>Datasheet</i> Solarex MSX-60	72
<b>Lampiran 2</b> <i>Datasheet</i> Schott Solar ASE-50-ETF	76
<b>Lampiran 3</b> <i>Datasheet</i> Swissco Solar STP005S-12/Db	78
<b>Lampiran 4</b> Pengukuran Rangkaian Modul Surya	80

